

TiB₂ 첨가량에 따른 β -SiC-TiB₂ 복합체의 전기적·기계적 특성 평가

박 미 림*, 신 용 덕*, 주 진 영*, 최 광 수*, 이 동 윤*, 소 병 문**
원광대학교 전기전자 및 정보공학부*, 익산대학 전기과**

The Estimation for Mechanical and Electrical Properties of β -SiC-TiB₂ Composites by TiB₂

Mi-Lim Park*, Yong-Deok Shin*, Jin-Young Ju*, Kwang-Soo Choi*, Dong-Yoon Lee*, Byung-Moon So**
Electrical and Electronic Engineering, WonKwang Univ., Electrical Department Iksan college**

Abstract - The mechanical and electrical properties of the pressureless annealed SiC-TiB₂ electroconductive ceramic composites were investigated as functions of the transition metal of TiB₂. The result of phase analysis for the SiC-TiB₂ composites by XRD revealed α -SiC(6H), TiB₂, and YAG($Al_5Y_3O_{12}$) crystal phase. The relative density showed the lowest 84.8% for the SiC-TiB₂ composites added with 39vol.%TiB₂. Owing to crack deflection, crack bridging and YAG of fracture toughness mechanism, the fracture toughness showed the highest value of 7.8 MPa $\cdot m^{1/2}$ for composites added with 39vol.%TiB₂ under a pressureless annealing at room temperature. The electrical resistivity of the SiC-27vol.%TiB₂ composites was negative temperature coefficient resistance (NTCR), and the electrical resistivity of the besides SiC-27vol.%TiB₂ composites was all positive temperature coefficient resistance (PTCR) in the temperature range of 25 °C to 700 °C.

1. 서 론

2800°C의 높은 용융점을 갖고 열화학적으로 안정한 반도체인 SiC는 일반적으로 고상 소결방법을 통한 고온 가압소결 방식으로 제조되며 현재는 소결 첨가제를 사용한 액상 소결방법이 많이 연구되고 있다.

본 저자들은 SiC에 천이금속인 TiB₂를 첨가하고, 액상 소결 첨가제인 Al₂O₃+Y₂O₃의 첨가율을 변화하여 1800°C와 1750°C에서 소결하였을 때, 복합체의 전기적·기계적 특성을 조사한 바 있다. 그 연구 결과에 따르면 1750°C 무가압 annealing에서 12wt% Al₂O₃+Y₂O₃를 첨가했을 때 가장 좋은 특성을 나타내었다[1-2].

본 연구에서는 SiC 고온가압소결 온도보다 200~350°C 낮은 1750°C에서 4시간 동안 무가압 annealing 하여 상압의 가능성과 PTCR 특성을 지닌 세라믹 발열체의 개발 가능성을 진단하기 위해 TiB₂ 첨가량의 최적점을 찾고자 하였다. 또한 TiB₂가 복합체의 전기적·기계적 특성에 미치는 영향을 평가할 목적으로 XRD분석, 상대밀도, 겹임강도, Vicker's 경도, 파괴인성 SEM 및 Pauw법에 의한 전기저항률에 대하여 조사하였다.

2. 실험방법

2.1 출발원료 및 혼합

본 실험에서 사용된 β -SiC와 TiB₂는 독일 H. C. Starck사의 Grade BF12와 Grade C제품을 사용하였고, 소결첨가제로 쓰인 Al₂O₃(99.5%)와 Y₂O₃(99.99%)는 각각 일본 Showa Chemical Inc.사의 제품과 미국 Aldrich Chemical Company, Inc.사의 제품을 이용

하였다.

출발원료는 β -SiC에 TiB₂를 각각 27, 33, 39, 45vol.% 혼합하고, 이 혼합물에 12wt%의 Al₂O₃+Y₂O₃(6:4 mixture of Al₂O₃ and Y₂O₃)를 첨가하였다. 이렇게 준비된 시료는 아세톤 용액으로 polyurethane jar에서 SiC 불을 사용하여 planetary ball milling을 시킨 후 잘 건조시켰다. 건조된 시료는 60mesh 망체로 sieve를 하였다.

2.2 소결방법

β -SiC에 TiB₂를 각각 27, 33, 39, 45vol.% 혼합하고 이 혼합물 모두에 12wt%의 Al₂O₃+Y₂O₃를 첨가하여 sieve된 분말을 흑연몰드에 넣고 흑연 유도가열식 가압소결로(Astro, California, U.S.A)로 argon gas 분위기에서 소결시켰다.

소결방법은 1750°C까지 분당 10°C로 승온하고, 1750°C에서 4시간 동안 annealing 한 다음 분당 12.8°C로 냉각 시켰다. 승온은 1000°C에서 5.55MPa을 주고 10°C씩마다 0.28MPa를 승압하여서 1700°C까지 25MPa를 가하였다. 승온 및 냉각 프로그램을 Fig. 1에 나타내었으며, β -SiC에 각각 TiB₂를 27, 33, 39, 45vol.% 혼합하고 이 혼합물 모두에 12wt%의 Al₂O₃+Y₂O₃를 첨가하여 1750°C에서 소결한 시편을 각각 27ST, 33ST, 39ST, 45ST로 명명한다.

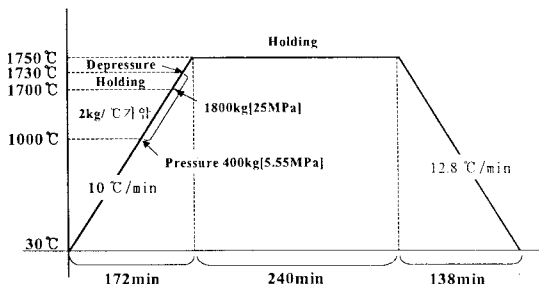


그림 1 승온 및 냉각 프로그램

Fig. 1 Heating and cooling schedule

2.3 물성측정

SiC-TiB₂ 세라믹 복합체의 이론밀도는 rule of mixture에 의해서 구해졌고, 상대밀도는 중류수를 이용한 아르카메데스법으로 sample당 8개를 취하여 개당 40회 측정하였다.

소결시편의 상분석은 XRD(D/Max-3B, Rigaku, Japan)을 이용하여 분석하였고, 미세구조는 SEM(XL30S FEG, Philips, Netherlands)를 이용하여 관찰하였다.

파괴강도 측정용 시편의 크기는 3×4×19mm이며, 10μm의 다이아몬드 분말로 표면을 연마한 후, 재료시험기(Instron, Model 4204)를 이용하여 0.5 mm/min의 조건으로 곡강도 시험법(JIS R 1601)에 의해 3점 곡

강도를 각 시편당 3회 측정하여 파괴강도 값을 구하였다. 경도 및 파괴인성 측정은 시편을 0.1μm 다이아몬드 분말로 최종 경면 가공한 후 베커스 미소경도시험기 (Matsuzawa, Model DVK-2, Japan)를 이용하여 경도 및 파괴인성 시험법인 압인법으로 측정하였다. 시편에 가한 하중은 10kgf, 40μm/sec, 유지시간은 10초로 하였으며, 각 시편당 5회 측정하였다. 경도 및 파괴인성치는 A. G. Evans & T. R. Wilshaw[3]식으로 계산하였다.

2.4 전기저항률 측정

전기저항률은 Pauw법[4]으로 실온부터 700°C까지 측정하였다. SiC-TiB₂계 복합체의 전기저항률은 25°C에서 700°C까지 Pauw법으로 시편당 500회를 측정하여 다음 식에 의해서 전기저항률 ρ 는 계산되었다.

$$\rho = \frac{\pi d}{\ln 2} \frac{R_1 + R_2}{2} \times f \left(\frac{R_1}{R_2} \right)$$

$$R_1 = \frac{V_{CD}}{I_{AB}} (\Omega) \quad R_2 = \frac{V_{BC}}{I_{AD}} (\Omega)$$

여기서,

V_{AB} : 단자 CD간에 전류 I_{CD} 를 흘렸을 때의 단자 AB간의 전압.

V_{CD} : 단자 AB간에 전류 I_{AB} 를 흘렸을 때의 단자 CD간의 전압.

f : 보정계수($R_1/R_2 < 1.5$ 이면, f = 1)

d : 시료의 두께.

3. 결과 및 고찰

3.1 상분석 및 미세구조

상대밀도는 그림 2에 나타난 바와 같이 39ST일 때 84.8%로 가장 낮게 나타나고 있다.

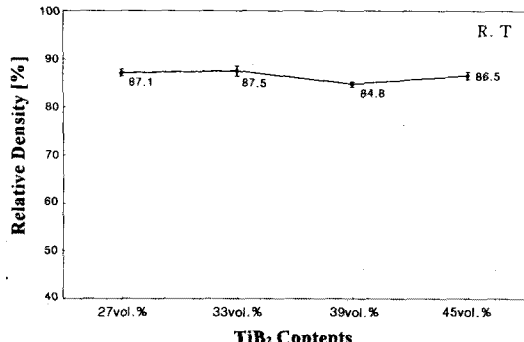


그림 2 Al₂O₃+Y₂O₃를 첨가한 β -SiC+TiB₂의 상대밀도
Fig. 2 Relative density of the β -SiC+TiB₂ with
 $\text{Al}_2\text{O}_3+\text{Y}_2\text{O}_3$ contents

또한 EDS(Phoenix, EDAX, U.S.A)분석 결과 YAG상을 일으키는 Al+Y의 양이 27, 33, 39ST등에서 5.1→4.89→2.16으로 감소하다가 45ST에서 3.94로 다시 증가하였다. 이것은 소결과정 중 carbon의 oxygen에 대한 높은 친화력으로 인하여 SiC와 Al₂O₃+Y₂O₃의 반응으로 인해 생성되는 Y₂O, Al₂O, CO등의 휘발성 성분이 증가되어 기공 형성의 증가를 가져왔기 때문이다. 45vol.% 첨가했을 때 기공이 다시 감소하는 이유는 TiB₂의 과다한 첨가량에 의한 SiC와 Al₂O₃+Y₂O₃의 낮은 반응으로 휘발 성분이 적어 밀도가 증가한 것으로 사료된다.

3.2 기계적 강도

그림 3에 나타난 바와 같이 꺾임 강도는 밀도와 같은 경향으로 나타나고 있고, 경도는 그림 4와 같이 TiB₂의 첨가량이 증가함에 따라 감소하는 경향을 나타내고 있는데, 이는 일반적인 금속보다 고경도 특성을 가진 세라믹인 SiC의 첨가량이 감소하기 때문으로 사료된다.

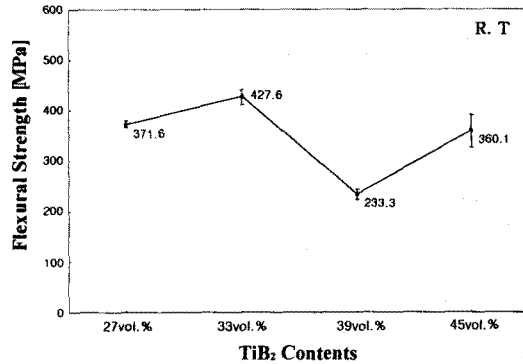


그림 3 Al₂O₃+Y₂O₃를 첨가한 β -SiC+TiB₂의 3점 꼭강도

Fig. 3 Three-point flexural strength of the β -SiC-TiB₂ with $\text{Al}_2\text{O}_3+\text{Y}_2\text{O}_3$ contents

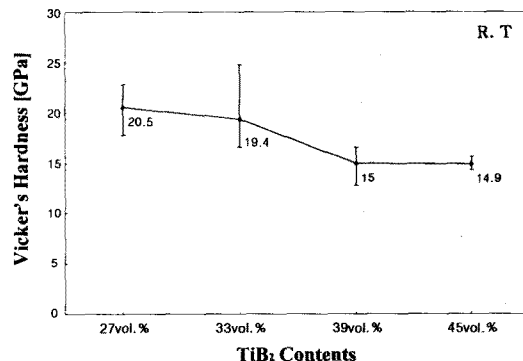


그림 4 Al₂O₃+Y₂O₃를 첨가한 β -SiC+TiB₂의 Vicker's 경도

Fig. 4 Vicker's hardness of the β -SiC-TiB₂ with $\text{Al}_2\text{O}_3+\text{Y}_2\text{O}_3$ contents

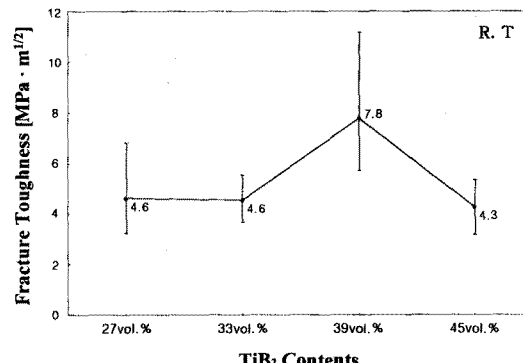
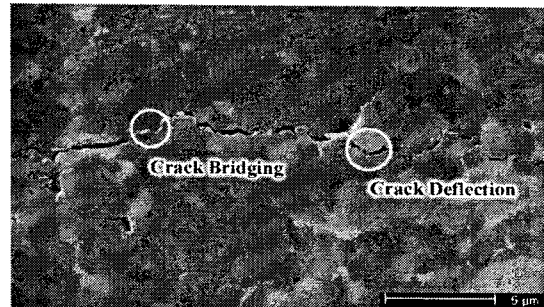


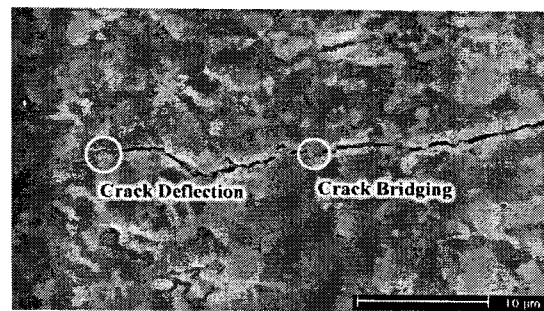
그림 5 Al₂O₃+Y₂O₃를 첨가한 β -SiC+TiB₂의 파괴인성

Fig. 5 Fracture toughness of the β -SiC-TiB₂ with $\text{Al}_2\text{O}_3+\text{Y}_2\text{O}_3$ contents

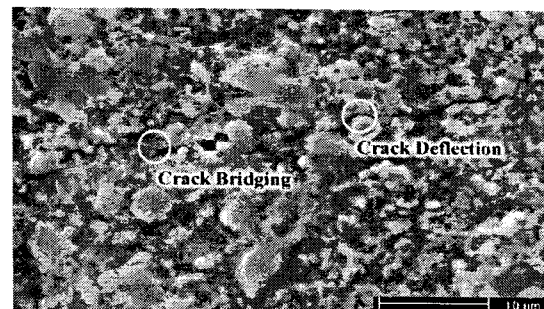
그림 5에서 파괴인성은 39ST일 때 가장 높게 나타나고 있으며, 그림 6에 나타난 바와 같이 모든 시편에서 크랙 편향 현상과 가교 형태가 나타나고 있는데 이는 α -SiC($4.36 \times 10^{-6}/\text{C}$ at 20~1000°C)와 TiB₂($8.1 \times 10^{-6}/\text{C}$ at 20~2000°C)의 열팽창계수의 차이로부터 생기는 고유 잔류 응력에 의해 일어난다. 또한 파괴인성이



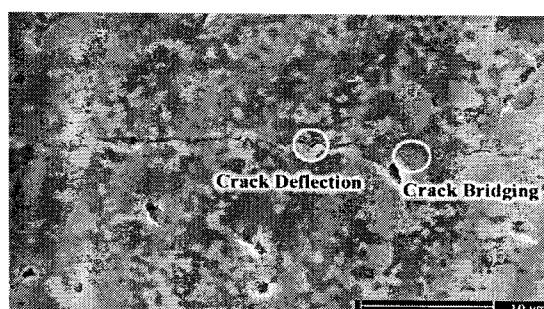
(a) 27ST



(b) 33ST



(c) 39ST



(d) 45ST

그림 6 β -SiC+TiB₂의 파괴거동 SEM사진

Fig. 6 SEM micrographs of crack propagation of the β -SiC+TiB₂

39ST보다 27, 33ST에서 낮게 나타나는 것은 TiB₂ 첨가량이 작아 계면보다 2차상의 잔류 응력이 상대적으로 작기 때문이며 45ST일 때는 TiB₂의 과다한 첨가량에 의해 잔류 응력의 중첩이 일어나 파괴인성을 저하시킨 것으로 사료된다.

3.4 전기저항률

그림 7에 나타난 바와 같이 전기저항률은 27ST에서는 부(-) 특성을 나타내고 있지만, 33, 39, 45ST에서는 천이금속인 TiB₂ 성질이 지배적으로 나타나 정(+) 특성을 나타내고 있으며 저항온도계수는 27ST에서 -1.25×10^{-3} 의 NTCR 특성이 나타났고, 33, 39, 45ST에서는 각각 2.4×10^{-3} , 3.8×10^{-3} , 3.6×10^{-3} 의 PTCR 특성으로 나타났다.

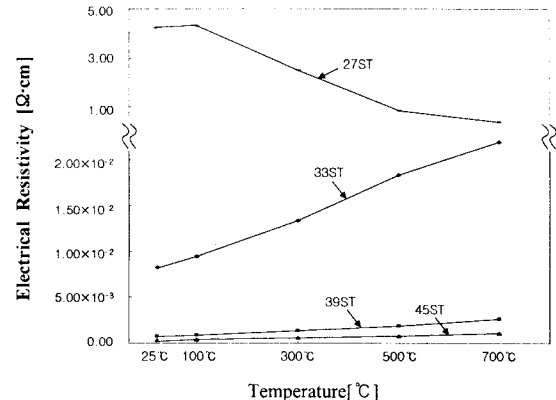


그림 7 전기저항률의 온도의존성

Fig. 7 Temperature dependence of electrical resistivity

3. 결 론

1) 상대밀도는 TiB₂를 39vol.% 첨가했을 때 가장 낮게 나타나고 있고, SiC와 TiB₂의 반응은 일어나지 않았으며, SiC는 β 상에서 α 상으로 상전이가 나타났다.

2) 경도는 TiB₂의 첨가량이 증가할수록 감소하고 있고, 파괴인성은 TiB₂를 39vol.% 첨가했을 때 7.8MPa \cdot m $^{1/2}$ 로 가장 높게 나타났다.

3) 전기저항률은 TiB₂를 27vol.% 첨가했을 때 NTCR 특성을 나타내고 있지만 33, 39, 45vol.% 첨가한 시편 모두 PTCR 특성을 나타내고 있다.

이와 같은 결과로 볼 때 TiB₂를 39vol.% 첨가했을 때의 상대밀도가 27, 33, 45vol.% 첨가했을 때보다 다소 낮게 되어 꺾임 강도는 낮게 나타나지만, 파괴인성은 오히려 높다. 따라서 파괴인성이 가장 높고 PTCR 특성을 나타내는 SiC-39vol.%TiB₂가 저온 및 고온용 도전재료로써 필요한 특성을 지닌 SiC-TiB₂ 복합체 개발을 위한 최적 첨가량으로 사료된다.

(참 고 문 헌)

- [1] Youg-Deok Shin, Jin-Young Ju, Mi-Lim Park, "Manufacture and Properties of β -SiC-TiB₂ Composites Densified by Pressureless Annealing". *Trans. KIEE*. Vol. 50 NO. 5, pp. 221-225, 2001.
- [2] Youg-Deok Shin, Seung-Hyuk Yim, Joon-Tae Song, "Properties of β -SiC-TiB₂ Electroconductive Ceramic Composites Densified by Liquid-Phase Sintering". *Trans. KIEE*. Vol. 50 NO. 6, pp. 263-270, 2001.
- [3] A. G. Evans and T. R. Wilshaw, "Quasi-Static Solid Particle Damage in Brittle Solids-1. Observation Analysis and Implication". *Acta Metallurgica*. Vol. 24, pp. 939-956, 1976.
- [4] M. Ramulu and M. Taya, "EDM machinability of SiCw/Al Composites" *Journal of Materials Science*. Vol. 24, pp. 1103-1108, 1989.